

**МЕХАНИКА  
ТВЕРДОГО ТЕЛА**  
**№ 1 · 1991**

УДК 539.3

© 1991 г.

**В. В. ПОРОХОВСКИЙ**

**НЕСТАЦИОНАРНОЕ ВЗАИМОДЕЙСТВИЕ СФЕРИЧЕСКОЙ УПРУГОЙ  
ВОЛНЫ СЖАТИЯ С ТОНКОЙ ЦИЛИНДРИЧЕСКОЙ ОБОЛОЧКОЙ,  
НАХОДЯЩЕЙСЯ В ТВЕРДОЙ СРЕДЕ  
И ЗАПОЛНЕННОЙ АКУСТИЧЕСКОЙ ЖИДКОСТЬЮ**

Нестационарные задачи дифракции упругих волн на цилиндрической оболочке изучены еще не достаточно полно, хотя на практике они возникают довольно часто при расчете на прочность различных подземных сооружений (трубопроводов и туннелей), элементов реакторов АЭС и т. д. В силу сложностей математического характера, описание возникающих упругодинамических эффектов проводилось в предположении, что падающая волна является плоской или цилиндрической, а оболочка бесконечно длинной (см., например, [1–3]). В частности, реакция цилиндрической оболочки в упругой среде на действие импульсной нагрузки исследована в [4–6]. Подробный анализ разных аспектов данной проблемы проведен в обзорах [7, 8]. В настоящей работе рассматривается задача определения реакции тонкой цилиндрической круговой оболочки, также бесконечно длинной и находящейся в твердой среде, однако возмущающим фактором является падающая сферическая волна сжатия, генерируемая центрально-симметричным излучателем.

**1. Постановка задачи.** Пусть на тонкую бесконечно длинную упругую цилиндрическую оболочку толщиной  $H$  и радиусом  $a$ , находящуюся в упругом пространстве из другого материала, набегает сферическая волна сжатия (фиг. 1). Предположим, что контакт между оболочкой и упругим пространством гладкий, а внутри оболочки содержит акустическую невязкую жидкость. Задача состоит в определении реакции оболочки на слабый ударный импульс, в частности, необходимо исследовать поведение перехода нормальных давлений, действующих на оболочку.

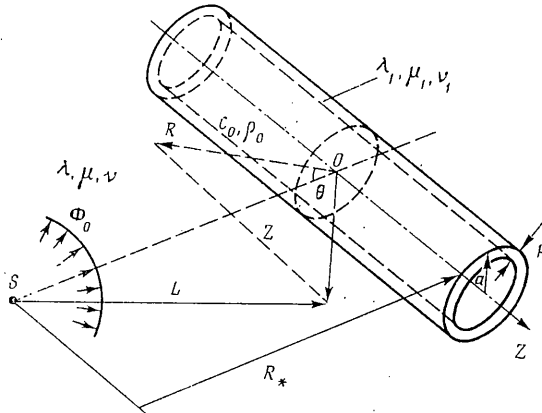
Представим потенциал перемещений, описывающий слабый ударный импульс волн сжатия в виде

$$\begin{aligned}\phi_0(L, t) &= \phi_0(R, \theta, Z, t) = \phi_* L^{-1} f(t - L/c_L) [H(t - L/c_L) - H(t - L/c_L - t_*)] \\ L &= (Z^2 + R^2 + R_*^2 - 2RR_* \cos \theta)^{1/2}\end{aligned}\quad (1.1)$$

где  $L$  – расстояние от точки источника упругих волн  $S$  к любой точке упругой среды;  $R, \theta, Z$  – цилиндрические координаты с началом отсчета на оси цилиндра в точке  $O$ , наиболее близкой от источника  $S$ ;  $t$  – время;  $t_*$  – продолжительность действия источника;  $c_L$  – скорость распространения продольных волн в основном материале;  $\phi_*$  – нормирующая постоянная;  $H(t)$  – функция Хевисайда.

Известно [9], что напряженно-деформированное состояние упругого тела, находящегося под действием нестационарных нагрузок, описывается с помощью потенциалов перемещений  $\phi, \Psi, \chi$ , удовлетворяющих соответствующим волновым уравнением:

$$\begin{aligned}(\nabla^2 - \partial^2/\partial t^2)\phi &= 0, \quad (\nabla^2 - \beta_2^2 \partial^2/\partial t^2)\Psi = 0, \quad (\nabla^2 - \beta_2^2 \partial^2/\partial t^2)\chi = 0, \quad \beta_2 = c_L/c_T \\ c_L &= ((\lambda + 2\mu)/\rho)^{1/2}, \quad c_T = (\mu/\rho)^{1/2}\end{aligned}\quad (1.2)$$



Фиг. 1

где  $\nabla^2$  — оператор Лапласа;  $c_t$  — скорость волн сдвига;  $\lambda, \mu$  — упругие параметры Ламе материала среды, плотность которого  $\rho$ . При этом для радиальных смещений и компонент тензора напряжений выполняются соотношения [9]

$$\begin{aligned} u_r &= \partial\Phi/\partial r + r^{-1}\partial\Psi/\partial\theta + \partial^2\chi/\partial r\partial z \\ \sigma_r &= 2\mu \left[ \left( \frac{1}{2}\lambda\mu^{-1}\partial^2/\partial\tau^2 + \partial^2/\partial r^2 \right)\Phi + \partial^2/\partial r\partial\theta (\Psi/r) + \partial^3\chi/\partial r^2\partial z \right] \\ \tau_{r\theta} &= 2\mu \left\{ \partial^2/\partial r\partial\theta (\Phi/r) + [r^{-1}\partial/\partial r + r^{-2}\partial^2/\partial\theta^2 + \frac{1}{2}(\partial^2/\partial z^2 - \beta_2\partial^2/\partial\tau^2)]\Psi + \partial^3/\partial r\partial\theta\partial z (\chi/r) \right\} \\ \tau_{rz} &= 2\mu \left[ \partial^2\Phi/\partial r\partial z + \frac{1}{2}r^{-1}\partial^2\Psi/\partial\theta\partial z + \partial/\partial r(\partial^2/\partial z^2 - \frac{1}{2}\beta_2^2\partial^2/\partial\tau^2)\chi \right] \end{aligned} \quad (1.3)$$

Здесь и далее приняты следующие безразмерные переменные и параметры:

$$l=L/a, \quad r_*=R_*/a, \quad r=R/a, \quad h=H/a \quad (1.4)$$

$$z=Z/a, \quad \tau=c_L t/a, \quad \tau_*=c_L t_*/a$$

Колебания упругого тонкостенного цилиндра описываются линейной теорией оболочек Кирхгофа — Лява, т. е.

$$L_{i1}u + L_{i2}v + L_{i3}w = \kappa^2 q_i \quad (i=1, 2, 3) \quad (1.5)$$

где  $u, v, w$  — соответственно радиальная, тангенциальная и осевые компоненты вектора перемещений в оболочке;  $q_i$  — компоненты вектора внешних усилий  $q$  ( $q_1=q_r, q_2=q_\theta, q_3=q_z$ ), причем в данном случае, когда выполняются условия гладкого контакта оболочки со средой,  $q_\theta=q_z=0$ . Дифференциальные операторы из (1.5) представляются в виде [10]

$$\begin{aligned} L_{11} &= a_0(\partial^2/\partial z^2 + \partial^2/\partial\theta^2)^2 + 1 + \beta_{10}\partial^2/\partial\tau^2 \\ L_{12} &= L_{21} = \partial/\partial\theta, \quad L_{13} = L_{31} = v_1\partial/\partial z \\ L_{22} &= \frac{1}{2}(1-v_1)\partial^2/\partial z^2 + \partial^2/\partial\theta^2 - \beta_{10}^2\partial^2/\partial\tau^2 \\ L_{23} &= L_{32} = \frac{1}{2}(1+v_1)\partial^2/\partial\theta\partial z \\ L_{33} &= \partial^2/\partial z^2 + \frac{1}{2}(1-v_1)\partial^2/\partial\theta^2 - \beta_{10}^2\partial^2/\partial\tau^2, \quad a_0 = h^2/12 \\ \kappa^2 &= h^{-1}(\lambda_1 + 2\mu_1)/(4\mu_1(\lambda_1 + \mu_1)), \quad \beta_{10}^2 = c_L^2/c_{10}^2 = c_L \rho h \kappa^2 \end{aligned} \quad (1.6)$$

Здесь  $\lambda_1$ ,  $\mu_1$ ,  $v_1$  — упругие параметры Ламе и коэффициент Пуассона материала оболочки, плотность которого  $\rho_1$ .

Давление  $p_f$  в жидкости, заполняющей оболочку, удовлетворяет волновому уравнению ( $c_0$  — скорость звука):

$$(\nabla^2 - \beta_0^2 \partial^2 / \partial \tau^2) p_f = 0, \quad \beta_0 = c_L / c_0 \quad (1.7)$$

Для нахождения нормального давления на поверхности оболочки  $q_r$  необходимо решить волновые уравнения (1.2), (1.5), (1.7) при выполнении краевых условий контакта

$$\begin{aligned} q_r - (\sigma_r + \sigma_{r,0})|_{r=1} - p_f|_{r=r_0} &= 0 \\ \tau_{r\theta} + \tau_{r\theta,0} &= 0, \quad \tau_{rz} + \tau_{rz,0} = 0 \quad (r=1) \\ u &= u_r + u_{r,0} \quad (r=1) \\ \partial^2 u / \partial \tau^2 &= -(\rho_0 c_L^2)^{-1} \partial p_f / \partial r \quad (r=r_0) \end{aligned} \quad (1.8)$$

Здесь  $r_0 = 1 - h$ ;  $\rho_0$  — плотность жидкой среды, причем для компонент вектора перемещения и тензора напряжений в падающей волне имеем следующие соотношения:

$$\begin{aligned} u_{r,0} &= \partial \Phi_0 / \partial r, \quad \sigma_{r,0} = 2\mu (1/\lambda \mu^{-1} \partial^2 / \partial \tau^2 + \partial^2 / \partial r^2) \Phi_0 \\ \tau_{r\theta,0} &= 2\mu \partial^2 / \partial r \partial \theta (\Phi_0 / r), \quad \tau_{rz,0} = 2\mu \partial^2 \Phi_0 / \partial r \partial z \end{aligned} \quad (1.9)$$

Предполагается также, что все искомые волновые характеристики, как и заданные, являются причинными, и они конечны в ограниченных областях.

**2. Метод решения задачи.** Воспользуемся интегральными преобразованиями Фурье по времени  $\tau$  и координате  $z$ . Тогда, например, потенциал  $\Phi(r, \theta, z, \tau)$  определяется формулами

$$\Phi(r, \theta, z, \tau) = (2\pi)^{-2} \int_{-\infty}^{\infty} \int_{-\infty}^{\infty} \Phi^{FF}(r, \theta, \alpha, \omega) e^{-i(\omega\tau - \alpha z)} d\alpha d\omega \quad (2.1)$$

$$\Phi^{FF}(r, \theta, \alpha, \omega) = \int_{-\infty}^{\infty} \int_{-\infty}^{\infty} \Phi(r, \theta, z, \tau) e^{i(\omega\tau - \alpha z)} d\tau dz \quad (2.2)$$

где  $\omega$ ,  $\alpha$  — параметры преобразования Фурье по времени и координате;  $\Phi^{FF}(r, \theta, \alpha, \omega)$  стационарная комплексная амплитуда потенциала.

В частности, для падающего импульса (1.1) фурье-трансформанты имеем

$$\begin{aligned} \Phi_0^{FF}(r, \theta, \alpha, \omega) &= f_0^F(\omega) H_0^{(1)}(l_0 \eta), \quad f_0^F(\omega) = \pi i f^F(\omega), \quad f^F(\omega) = \int_0^{\tau_*} f(\tau) e^{i\omega\tau} d\tau \\ \eta &= (\omega^2 - \alpha^2)^{1/2}, \quad l_0 = (r_*^2 + r^2 - 2r_* r \cos \theta)^{1/2} \end{aligned} \quad (2.3)$$

где  $H_n^{(1)}(x)$  — функция Ганкеля первого рода.

Используя теорему сложения для  $H_0^{(1)}(\eta l_0)$  [11], трансформанту импульса посылки можно записать в виде разложения по парциальным

волнам:

$$\Phi_0^{FF}(r, \theta, \alpha, \omega) = \sum_{n=0}^{\infty} g_n \varepsilon_n J_n(\eta r) \cos n\theta \quad (2.4)$$

$$\varepsilon_0 = 1, \quad \varepsilon_n = 2, \quad n \geq 1, \quad g_n = f_0^F(\omega) H_n^{(1)}(\eta r_*)$$

где  $J_n(x)$  — функция Бесселя,  $\varepsilon_n$  — символ Неймана.

Применяя далее преобразования Фурье к уравнениям движения (1.2), (1.7) и решая трансформированные дифференциальные уравнения в соответствующих областях, по аналогии к (2.4) получаем (суммирование здесь и в (2.6) по  $n=0, 1, \dots, \infty$ ):

$$\Phi^{FF}(r, \theta, \alpha, \omega) = \sum g_n \varepsilon_n b_n H_n^{(1)}(\eta r) \cos n\theta \quad (r \geq 1) \quad (2.5)$$

$$\Psi^{FF}(r, \theta, \alpha, \omega) = \sum g_n \varepsilon_n c_n H_n^{(1)}(\eta_2 r) \sin n\theta \quad (r \geq 1)$$

$$\chi^{FF}(r, \theta, \alpha, \omega) = \sum g_n \varepsilon_n d_n H_n^{(1)}(\eta_2 r) \cos n\theta \quad (r \geq 1)$$

$$p_f^{FF}(r, \theta, \alpha, \omega) = \sum g_n \varepsilon_n a_n J_n(\eta_0 r) \cos n\theta \quad (0 \leq r \leq r_0)$$

$$\eta_2 = (\omega_2^2 - \alpha^2)^{1/2}, \quad \eta_0 = (\omega_0^2 - \alpha^2)^{1/2}, \quad \omega_2 = \beta_2 \omega, \quad \omega_0 = \beta_0 \omega$$

где коэффициенты  $a_n, n_n, c_n, d_n$ , как функции от  $\alpha$  и  $\omega$ , подлежат определению. Таким же образом можно представить и фурье-компоненты решений системы дифференциальных уравнений (1.5):

$$u^{FF}(\theta, \alpha, \omega) = \sum g_n \varepsilon_n u_n \cos n\theta, \quad v^{FF}(\theta, \alpha, \omega) = \sum g_n \varepsilon_n v_n \sin n\theta$$

$$w^{FF}(\theta, \alpha, \omega) = \sum g_n \varepsilon_n w_n \cos n\theta \quad (2.6)$$

где  $u_n, v_n, w_n$  — неизвестные функции переменных  $\alpha$  и  $\omega$ .

Используя преобразованные по Фурье соотношения (1.9) и уравнения (1.5), а также удовлетворяя условиям гидроупругого контакта (1.8), с учетом соотношений (2.5), (2.6) и свойства ортогональности функций  $\cos n\theta$  и  $\sin n\theta$  на промежутке  $0 \leq \theta \leq \pi$ , получаем следующую систему линейных алгебраических уравнений относительно неизвестных функций:

$$\sum_{j=1}^7 a_{ij} x_j = f_i \quad (i=1, \dots, 7) \quad (2.7)$$

$$x_1 = u_n, \quad x_2 = v_n, \quad x_3 = w_n, \quad x_4 = b_n$$

$$x_5 = c_n, \quad x_6 = d_n, \quad x_7 = a_n$$

$$a_{11} = a_0^2 (n^2 + \alpha^2)^2 + 1 - \omega_{10}^2, \quad a_{12} = -a_{21} = n$$

$$a_{13} = a_{31} = \alpha v_1 i, \quad a_{22} = -n^2 - 1/2 (1 - v_1) + \omega_{10}^2$$

$$a_{23} = -a_{32} = -1/2 n \alpha (1 + v_1) i$$

$$a_{33} = -1/2 n^2 (1 - v_1) - \alpha^2 + \omega_{10}^2$$

$$a_{44} = -\kappa_1^2 f_{11}(\eta), \quad a_{45} = -\kappa_1^2 f_{12}(\eta_2), \quad a_{46} = -\kappa_1^2 f_{13}(\eta_2)$$

$$a_{44} = f_{21}(\eta), \quad a_{45} = f_{22}(\eta_2), \quad a_{46} = f_{23}(\eta_2)$$

$$a_{54} = f_{31}(\eta), \quad a_{55} = f_{32}(\eta_2), \quad a_{56} = f_{33}(\eta_2)$$

$$a_{64} = f_{41}(\eta), \quad a_{65} = f_{42}(\eta_2), \quad a_{66} = f_{43}(\eta_2) \quad (2.8)$$

$$\begin{aligned}
a_{61} &= -1, \quad a_{71} = i\omega, \quad f_{11}(x) = -\omega_1^2 H_n^{(1)}(x) + x^2 H_n^{(1)''}(x) \\
f_{12}(x) &= -f_{21}(x) = n[xH_n^{(1)'}(x) - H_n^{(1)}(x)], \quad f_{13}(x) = i\alpha x^2 H_n^{(1)''}(x) \\
f_{22}(x) &= xH_n^{(1)'}(x) - (n^2 - 1/2x^2)H_n^{(1)}(x) \\
f_{23}(x) &= i\alpha f_{21}(x), \quad f_{31}(x) = i\alpha xH_n^{(1)'}(x), \quad f_{32}(x) = 1/2i\alpha nH_n^{(1)}(x) \\
f_{33}(x) &= 1/2(x^2 - \alpha^2)xH_n^{(1)'}(x) \\
f_{41}(x) &= xH_n^{(1)'}(x), \quad f_{42}(x) = n^2 H_n^{(1)}(x) \\
f_{43}(x) &= \alpha^2 xH_n^{(1)'}(x), \quad f_{14}(x) = i\rho_0 c_i^2 \omega J_n(x), \quad f_{54}(x) = r_0^{-1} J_n'(x) \\
f_1 &= \operatorname{Re} f_{11}(\eta), \quad f_4 = -\operatorname{Re} f_{21}(\eta), \quad f_5 = -\operatorname{Re} f_{31}(\eta) \\
f_6 &= -\operatorname{Re} f_{41}(\eta), \quad \omega_1^2 = 1/2\lambda\mu^{-1}\omega^2, \quad \kappa_1^2 = 2\mu\kappa^2
\end{aligned}$$

Остальные коэффициенты  $a_{ij}$ ,  $f_i$  ( $i, j = 1, \dots, 7$ ), не приведенные в соотношениях (2.8), равны нулю.

Решая систему уравнений (2.7) и подставляя  $u_n$ ,  $v_n$ ,  $w_n$  в преобразованное по Фурье третье уравнение системы (1.5), находим

$$\begin{aligned}
q_r^{FF}(\theta, \alpha, \omega) &= 2\mu \sum_{n=0}^{\infty} \varepsilon_n q_n \frac{GF \cos n\theta}{GF_1 - G_1(\kappa_1^2 F_2 + \kappa_2^2 \omega^2 Z_n F_1)} \quad (2.9) \\
G &= \begin{vmatrix} a_{11} & a_{12} & a_{13} \\ a_{21} & a_{22} & a_{23} \\ a_{31} & a_{32} & a_{33} \end{vmatrix}, \quad G_1 = \begin{vmatrix} a_{22} & a_{23} \\ a_{32} & a_{33} \end{vmatrix} \\
F_1 &= \begin{vmatrix} f_{21}(\eta) & f_{22}(\eta_2) & f_{23}(\eta_2) \\ f_{31}(\eta) & f_{32}(\eta_2) & f_{33}(\eta_2) \\ f_{41}(\eta) & f_{42}(\eta_2) & f_{43}(\eta_2) \end{vmatrix}, \quad F_2 = \begin{vmatrix} f_{11}(\eta) & f_{12}(\eta_2) & f_{13}(\eta_2) \\ f_{21}(\eta) & f_{22}(\eta_2) & f_{23}(\eta_2) \\ f_{31}(\eta) & f_{32}(\eta_2) & f_{33}(\eta_2) \end{vmatrix} \\
F &= \begin{vmatrix} \operatorname{Re} f_{11}(\eta) & f_{11}(\eta) & f_{12}(\eta_2) & f_{13}(\eta_2) \\ \operatorname{Re} f_{21}(\eta) & f_{21}(\eta) & f_{22}(\eta_2) & f_{23}(\eta_2) \\ \operatorname{Re} f_{31}(\eta) & f_{31}(\eta) & f_{32}(\eta_2) & f_{33}(\eta_2) \\ \operatorname{Re} f_{41}(\eta) & f_{41}(\eta) & f_{42}(\eta_2) & f_{43}(\eta_2) \end{vmatrix} \\
z_n &= J_n(\eta_0 r_0) / (\eta_0 J_n'(\eta_0 r_0)), \quad \kappa_2^2 = \kappa^2 \rho_0 c_L^2
\end{aligned}$$

**3. Алгоритм вычисления и анализ результатов.** Предположим, что распространение первичных волн в упругой изотропной среде вызвано импульсным давлением на стенки сферической полости радиуса  $l_*$  [12]. Полярный радиус отсчитывается от центра этой полости. Давление на поверхности излучателя удовлетворяет условию:

$$\sigma_l(l, \tau) = -p(\tau) [H(\tau) - H(\tau - \tau_*)], \quad l = l_* \quad (3.1)$$

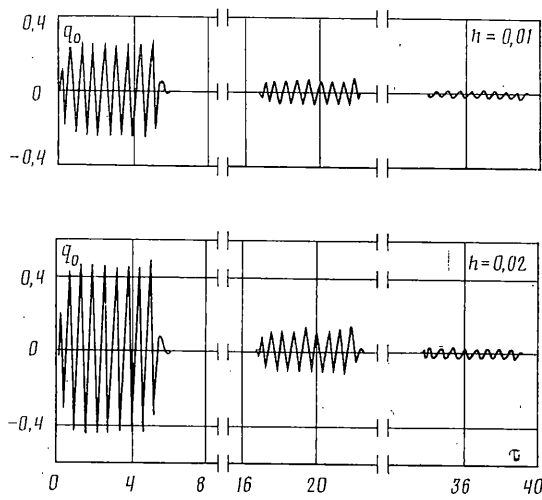
где  $p(\tau)$  — функция заполнения импульса.

Из представления потенциала перемещений (1.1), Фурье-трансформанты (2.3) и соотношения (3.1) следует, что

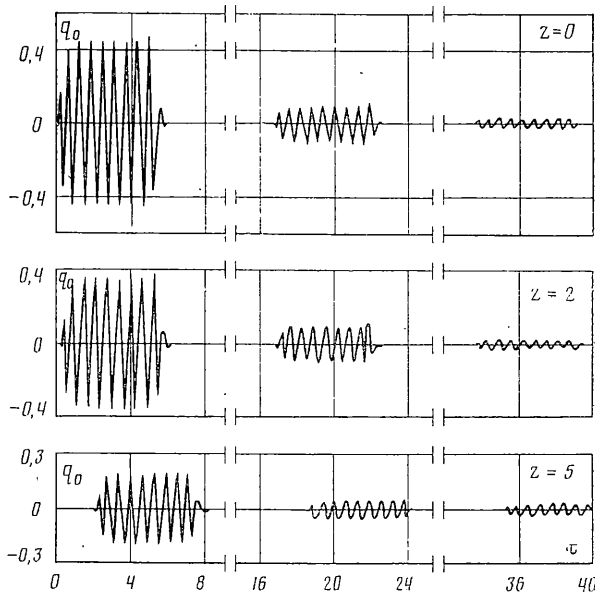
$$f^F(\omega) = 1/2\mu^{-1} p^F(\omega) / (\omega^2 + 2i\omega\alpha_0 - \gamma\alpha_0^2) \quad (3.2)$$

$$p^F(\omega) = \int_0^{\tau_*} p(\tau) e^{i\omega\tau} d\tau$$

$$\alpha_0 = l_*^{-1} (1 - 2\nu) / (1 - \nu), \quad \gamma = 2(1 - \nu) / (1 - 2\nu)$$



Фиг. 2

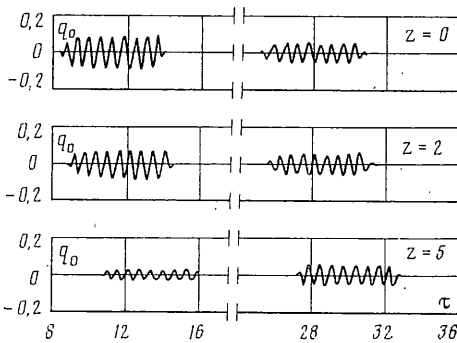


Фиг. 3

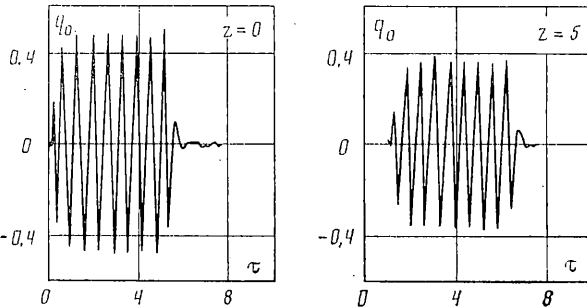
Основным в данной работе является анализ нормального давления на поверхности оболочки  $q_r(\theta, z, \tau)$ , которое вычислим по формулам

$$q_r(\theta, z, \tau) = \frac{1}{\pi} \int_0^\infty \operatorname{Re}[f^F(\omega) q^F(\theta, z, \omega) e^{-i\omega\tau}] d\omega \quad (3.3)$$

$$q_r^F(\theta, z, \omega) = \frac{1}{\pi} \int_0^\infty q_r^{FF}(\theta, \alpha, \omega) e^{i\alpha\omega} d\alpha \quad (3.4)$$



Фиг. 4



Фиг. 5

Для вычисления интегралов (3.3), (3.4) применяется метод Ромберга [13, 14] с аппроксимацией четвертого порядка<sup>1</sup>. Интегрирование в полу бесконечных пределах заменяется интегрированием по конечному интервалу. В частности, поскольку функция  $q_r^{RF}(\theta, \alpha, \omega)$  при  $\alpha > \omega$  экспоненциально стремится к нулю, то верхний предел определяется численно, несколько превосходя значение  $\omega$ .

Проанализируем теперь нормальное давление на поверхности цилиндрической оболочки. Материал оболочки – сталь ( $\lambda = 1,12 \cdot 10^{11}$  Н/м<sup>2</sup>,  $\mu = 8,09 \cdot 10^{10}$  Н/м<sup>2</sup>,  $\rho = 7700$  кг/м<sup>3</sup>), окружающая упругая среда – алюминий ( $\lambda_1 = 5,42 \cdot 10^{10}$  Н/м<sup>2</sup>,  $\mu_1 = 2,21 \cdot 10^{10}$  Н/м<sup>2</sup>,  $\rho_1 = 2700$  кг/м<sup>3</sup>), жидкий заполнитель – вода ( $c_0 = 1410$  м/с,  $\rho_0 = 1000$  кг/м<sup>3</sup>). Набегающий сигнал является квазимонохроматическим,  $p(\tau) = \sin \omega_* \tau$  ( $\omega_* = 10$  – несущая частота).

Результаты вычисления для нормального давления

$$q_0(\theta, z, \tau) = q_r(\theta, z, \tau) / \max_{\tau \in [0, \tau_*]} \sigma(r_* - 1, 0, \tau) \quad (3.5)$$

на поверхности цилиндрической заполненной водой оболочки ( $r = 1$ ,  $z = 0$ ,  $\theta = 0^\circ$ ), вызванного синусоидальным сферическим волновым пакетом, источник которого находится на расстоянии  $r_* = 10$  от оси цилиндра, с конечной длительностью импульса посылки  $\tau_* = 5$ , при толщинах оболочки  $h = 0,01$  и  $h = 0,02$  в зависимости от безразмерного времени  $\tau$  приведены на фиг. 2. Анализ этих результатов показывает, что падающий волновой пакет приводит к возникновению целой серии импульсов. При этом каждый волновой пакет характеризуется временем поступления  $\tau_n$  и своей амплитудой, причем индекс  $n$  соответствует номеру данного импульса. Первый сигнал получен за счет отражения от объекта падающей сферической волны, последующие – вследствие переотражения от тыльной поверхности оболочки. Время прихода волновых пакетов  $\tau_n$  можно определить из следующего приближенного соотношения

$$\tau_n \approx 4\beta_0(n-1) \quad (3.6)$$

<sup>1</sup> Пороховский В. В. Пакет прикладных программ расчета дифракции остронаправленных акустических импульсов на сферических объектах (Пакет программ). Киев, 1981. 124 с. – Деп. в УкрРФАП 20.02.1981, № 5901.

Сопоставляя графики амплитуд перепада давлений на оболочках с  $h=0,01$  и  $h=0,02$ , приходим к выводу, что амплитуды сигналов тем выше, чем толще оболочка.

Зависимость давления на поверхности оболочки ( $r=1, \theta=0^\circ$ ) от  $\tau$  при различных значениях  $z$  ( $z=0, 2, 5$ ) показаны на фиг. 3. При этом расстояние от источника до оси цилиндра равно  $r_*=5$ , толщина оболочки  $h=0,02$ . Из этих графиков следует, что с увеличением расстояния  $z$  величина амплитуды давления уменьшается. Но это уменьшение становится менее заметным с ростом номера волновых пакетов. Кроме того, с увеличением  $z$  происходит задержка во времени поступления сигналов. Величину задержки можно вычислить по приближенной формуле

$$\Delta\tau = ((r_* - 1)^2 + z^2)^{1/2} - (r_* - 1) \quad (3.7)$$

которая получается на основе геометрической акустики.

Результаты расчета нормального давления на тыльной стороне оболочки ( $r=1, \theta=180^\circ$ ) при значениях  $z=0, 2, 5$  приведены на фиг. 4. Амплитуды первых импульсов давления намного меньше по сравнению с аналогичными характеристиками, вычисленными со стороны источника сферических волн (фиг. 3).

Фигура 5 иллюстрирует поведение нестационарного давления на лобовой поверхности стальной оболочки ( $r=1, \theta=0^\circ$ ), пустой изнутри, при  $z=0, z=5$  и  $r_*=10$ . Подсчеты показывают, что в данном случае вторичные импульсы давления отсутствуют.

#### СПИСОК ЛИТЕРАТУРЫ

1. Михайлов А. А., Миллев А. С., Тазихина Е. Н. Нестационарное взаимодействие плоской продольной волны с упругой цилиндрической оболочкой в грунте // Строит. механика и расчет сооружений. 1988. № 1. С. 40–44.
2. Мирзаева Ш. Ф. К задаче о действии длинной упругой волны на цилиндрическую оболочку // Динам. оснований, фундаментов и подземн. сооруж. Ташкент. 1977. С. 159–161.
3. Якупов Р. Г. Взрывное нагружение цилиндрической оболочки и определение безопасных расстояний взрыва // Нелинейные пробл. аэрогидроупругости./Тр. семинара по теории оболочек. Казань. 1979. Вып. 11. С. 147–157.
4. Неуен Хоа Тхинь. Расчет цилиндрической оболочки в линейноупругой среде на действие импульсных сил // Изв. Сев.-Кавказ. научн. центра высш. шк. Естеств. н. 1985. № 3. С. 54–57.
5. Никитин Л. В., Тюргоджаев А. Н. Поведение трубопровода под воздействием ударной волны в грунте // Трение, износ и смазочные материалы. Тр. Междунар. науч. конф. Ташкент, 22–26 мая 1985. Тез. секц. докл. Т. 3. Ч. 2. Ташкент. 1985. С. 138–144.
6. Серый О. Т. К задаче о реакции цилиндрической оболочки с заполнителем на действие пульсирующей нагрузки // Динам. и прочн. машин. Харьков. 1985. № 41. С. 70–74.
7. Вестяк А. В., Горшков А. Г., Тарлаковский Д. В. Нестационарное взаимодействие деформируемых тел с окружающей средой // Итоги науки и техники. ВИНТИ. Сер. Механика деформируемого твердого тела. 1983. Т. 15. С. 69–148.
8. Trautmann C. H., O'Rourke T. D., Kuhnau F. H. Uplift forced displacement response of buried pipe // J. Geotech. Eng. 1985. V. 111. № 9. P. 1061–1076.
9. Подстрягач Я. С., Поддубняк А. П. Рассеяние звуковых пучков на упругих телах сферической и цилиндрической формы. Киев: Наук. думка. 1986. 264 с.
10. Перецов А. К., Платонов Э. Г. Динамика оболочек и пластин (Нестационарные задачи). Л.: Судостроение. 1987. 316 с.
11. Бейтмен Г., Эрдейи А. Высшие трансцендентные функции: функции Бесселя, функции парабол, цилиндра, ортогона, многочлены. М.: Наука. 1974. 295 с.
12. Achenbach J. D. Wave propagation in elastic solids. Amsterdam, London: North-Holland Publ. Co. N. Y.: Amer. Elsevier Publ. Co. 1973. 425 p.
13. Нигул У. К., Метсаээр Я. А., Векслер Н. Д., Кугсер М. Э. Эхосигналы от упругих объектов. Таллин: Б. и. 1974. Т. 2. 345 с.
14. Brill D., Überall H. Acoustic waves transmitted through solid elastic cylinders // J. Acoust. Soc. Amer. 1971. V. 50. № 3. P. 2. P. 921–939.

Львов

Поступила в редакцию  
10.III.1989